

小垂度柔綫計算理論

[苏联] B. K. 卡楚林著

科学 技术 出版社

小垂度柔線計算理論

[苏联] B. R. 卡楚林著

楊福新譯

科学技術出版社

內 容 提 要

本書从基本理論出发，研究在均布、集中、溫度、风力、摩阻力、縱向力以及任意方向集中力等作用下，單跨柔綫、不同类型的彈性支座柔綫以及在一个跨度中拉断时多跨柔綫的張力和垂度計算；同时，亦研究与各种工程如輸电綫路、起重机纜索、架空索道及纜索桥等有关的柔綫計算問題，叙述柔綫剛性、彈性变形以及溫度变化等对解答的修正，最后討論到纜条和柔綫的組合体系，傾斜及垂直悬挂以及空間节点等問題。書中除一般理論、公式外，尚有大量实际計算例題，供柔綫計算时参考。

小垂度柔綫計算理論

ТИБКИЕ НИТИ С МАЛЫМИ СТРЕЛКАМИ

原著者〔苏联〕V. K. Кацурин

原出版者 Государственное Издательство

Техники-Теоретической Литературы

譯 者 楊 福 新

*

科学技術出版社出版

(上海南京西路 2004 号)

上海市書刊出版业营业許可證出 079 号

大众文化印刷厂印刷 新华書店上海发行所總經售

*

統一書号：15119 · 810

开本 850×1168 · 1/32 印張 6 3/16 · 字数 150,000

1958年8月第1版

1958年8月第1次印刷 · 印数 1—2,000

定价：(10) 1.10 元

緒 言

柔線是工程上最常用的構件。屬於柔線的構件是：電話和電報線路的電線，電氣鐵路和電車的接觸線，無線電天線，懸鏈橋的鏈條，纜索起重機和索道的鋼索，以及船只鉄錨的鏈條等等。很難指出這樣的工程部門：即它不或多或少地需用柔線。

此外應該指出，柔線的計算理論並沒有得到充分發展，而且這方面的某些應用問題一般地還沒有解決。例如：沒有透徹地研究受任意空間載荷作用的柔線的計算問題；很少研究多跨柔線，特別是在彈性支座上的多跨柔線的計算問題；沒有解決由柔線和剛性盤體組成的混合體系的計算問題；很少研究由柔線組成的空間節點的計算。其實，這些問題都是具有重要意義的。關於柔線受空間載荷的問題，是在設計傾斜悬挂的電氣鐵路的接觸線，以及設計有電動拖船通航的運河上的接觸線等等時遇到的。在本書中專門研究了上述這些問題。

柔線是一種變化體系。因此隨著關於柔線張力大小問題的提出，同時發生了柔線受載荷作用時的形狀和尺寸問題。這樣就使柔線的計算理論大大地複雜化。首先，柔線本身的強度計算問題就與在不變體系情形中提出的強度計算問題有所區別。無重量的柔線不可能有某一定的形狀。只有當它受載荷作用時才產生這樣或那樣的形狀。因此首先提出的是關於柔線的初始形狀問題（即柔線受初始載荷作用時的形狀）。然後，當載荷變化時又產生關於柔線的形狀及尺寸變化的問題。

屬於變化體系的柔線不遵守力作用獨立的原理，並且在載荷

和变形之間不存在直線比例。求得的計算公式常常是很复杂的。因此，許多問題的最后結果都不能以字母来表示。另一方面，作者認為在研究的所有情形中完全有必要叙述全部的計算步驟。这样就不得不在書中列举了許多計算例題。

在本書中只考查小垂度柔線。但是在第三章中介紹了大垂度柔線的某些解，这样做主要是为了扩展所作的分析。問題是在于大垂度柔線的張力一般很小，因此从强度观点來說張力的大小并无意义。在此情形下，大垂度柔線的計算宁屬於理論力学上的問題。实則，作者在本書中給自己提出的任务是从强度观点來計算柔線（在所有大小城市上方交織着的各种電線都屬於小垂度柔線的范畴。在城外亦大量地使用了这种柔線）。

作者在本書中并沒有提出要为某一个部門（例如輸電線或索道等等）提供柔線計算指南的目的。本書的內容在于一般地叙述柔線的計算理論，同时考查了不同部門的一系列实际例題。然而，只應該將这些例題視為引用理論結論的算例，而不能作为某一独特工程部門研究出来的柔線計算方法。作者希望在本書中所研究的理論，能有助于不同技术部門的柔線計算工作。

目 录

緒言.....	1
第一章 單跨柔線.....	1
§ 1 柔線的基本計算公式.....	1
§ 2 均布載荷的作用.....	6
§ 3 受任意布置的垂直載荷作用的柔線的一般計算步驟.....	13
§ 4 集中力的作用.....	17
§ 5 柔線跨度的变化和溫度变化.....	20
§ 6 把柔線当作拉杆.....	24
§ 7 求积分 $\int_0^l Q^2 dx$ 的方法.....	30
§ 8 結論的应用.....	36
§ 9 按作用方向垂直于柔線初始垂度平面的載荷計算柔線的一般步驟.....	44
§ 10 風力的作用.....	48
§ 11 集中荷重.....	49
§ 12 荷重沿柔線運動的阻力.....	52
§ 13 縱向力的作用.....	57
§ 14 任意方向的集中力.....	62
第二章 多跨柔線.....	67
§ 15 支座类型、張力的平衡、溫度影响.....	67
§ 16 具有可動中間支座的柔線.....	75
§ 17 柔線在中間支座上的傾斜度.....	90
§ 18 跨度相同的彈性支座柔線.....	92
§ 19 跨度不同的彈性支座柔線.....	99
§ 20 彈性支座柔線在一个跨度中拉断.....	103
第三章 某些解答的修正.....	109

§ 21 不可伸張柔綫的精確計算.....	109
§ 22 彈性變形和溫度變化的影响.....	118
§ 23 柔綫剛性的影响.....	121
第四章 組合体系.....	130
§ 24 鏈條、鏈條和柔綫的組合.....	130
§ 25 用吊杆連接的柔綫.....	148
§ 26 “傾斜”悬挂.....	161
§ 27 垂直悬挂和傾斜悬挂的近似計算法.....	168
§ 28 空間节点.....	176
附录 柔綫計算問題发展簡况.....	188
参考文献.....	190

第一章 單跨柔線

§ 1. 柔線的基本計算公式

a) 支座位于同一水平上

設有一根受任意垂直載荷作用的、支座位于同一水平上的柔線(图 1a)。图 16 是繪有支座反力的同样的一根柔線。

为了解决关于在柔線中产生的力的問題，必須首先确定支座反力。这些反力可根据下列靜力条件来确定：

$$\sum x = -H_A + H_B = 0, \quad (1)$$

$$\sum M_B = Al - \sum M_{PB} = 0, \quad (2)$$

$$\sum M_A = -Bl + \sum M_{PA} = 0. \quad (3)$$

在这些公式中， $\sum M_{PB}$ 和 $\sum M_{PA}$ 是作用在柔線上 的外力对于支座 B 和 A 的力矩。

由(1)式得

$$H_A = H_B = H, \quad (4)$$

由(2)及(3)式相应得

$$A = \frac{\sum M_{PB}}{l}, \quad (5)$$

$$B = \frac{\sum M_{PA}}{l}. \quad (6)$$

我們看出，支座反力垂直分力的式子，与載荷情况和柔線載荷情况(图 16 和 14)相类似的简支梁支座反力的式子毫无区别，亦即

$$A = A_6, \quad (7)$$

$$B = B_6. \quad (8)$$

現在来研究距左支座 x 的柔線某一截面 C。此截面的縱坐标

等于 y (图1a和1b)。由于假定柔線是絕對柔性的，因此可証出上述截面內的弯矩等于零，亦即

$$Ax + M_{Ax} + H_A y = 0. \quad (9)$$

式中 M_{Ax} —作用在柔線左部分上的所有力(支座反力除外)对截面C的力矩的总和；而 $Ax + M_{Ax}$ 就是簡支梁相應截面的弯矩 M_6 (图1c和1d)。由此公式(9)可改写为

$$M_6 - H_A y = 0, \quad (9a)$$

注意到公式(4)，得

$$y = \frac{M_6}{H}. \quad (10)$$

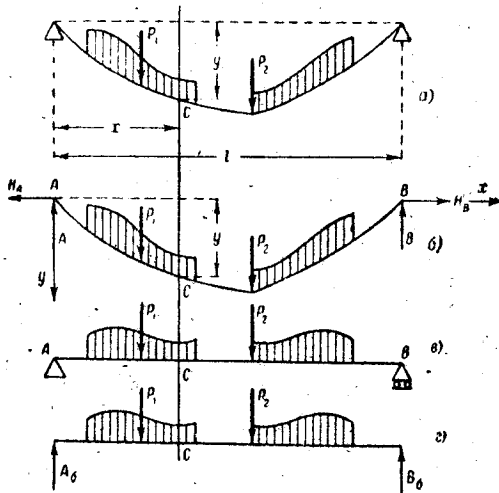


图 1

确定导数 $\frac{dy}{dx}$ 时，必须注意数量 H 是与 x 无关的不变值。根

据弯曲理論中的熟知公式 $\frac{dM_6}{dx} = Q_6$ ，可得

$$\frac{dy}{dx} = \frac{Q_6}{H}. \quad (11)$$

式中 Q_6 —— 跨度和載荷情況與柔線相同的簡支梁內的剪力。

在以後，我們寫 M_6 和 Q_6 時
不再附加指標。因此

$$y = \frac{M}{H}, \quad (12)$$

$$\frac{dy}{dx} = \frac{Q}{H}. \quad (13)$$

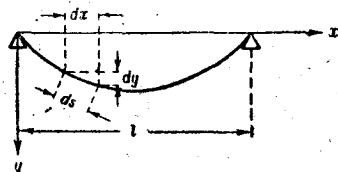


图 2

在柔線計算中必須確定其長度。柔線長度可由曲線的長度來確定(圖 2)

$$L = \int_l ds = \int_l \sqrt{(dx)^2 + (dy)^2} = \int_0^l \sqrt{1 + \left(\frac{dy}{dx}\right)^2} dx.$$

因為在本書中只研究小垂度柔線，數量 $\left(\frac{dy}{dx}\right)^2$ 與 1 相比較是很小的；因此按照近似計算規則可寫出

$$\sqrt{1 + \left(\frac{dy}{dx}\right)^2} \approx 1 + \frac{\left(\frac{dy}{dx}\right)^2}{2}.$$

由此

$$L \approx \int_0^l \left[1 + \frac{1}{2} \left(\frac{dy}{dx}\right)^2 \right] dx.$$

注意到公式(13)，得

$$L = \int_0^l \left[1 + \frac{1}{2} \frac{Q^2}{H^2} \right] dx$$

或，因 $\int_0^l dx = l$ ，而 H 是常數，所以得到

$$L = l + \frac{1}{2H^2} \int_0^l Q^2 dx. \quad (14)$$

6) 支座位於不同水平上

圖 3a 是受任意垂直力作用的柔線 AB 。圖 3b 是受任意垂直

力并包括支座反力 R_A 及 R_B 作用的同一根柔綫。这些反力均可分解成两个分力

A_1 和 H'_A , B_1 和 H'_B ;

力 H'_A 和 H'_B 作用于支座 A 和 B 点的連綫方向。

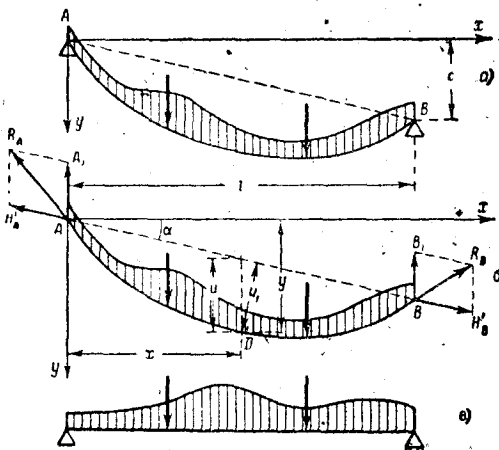


图 3

将作用在柔綫上的所有力投影到水平軸上，得

$$H'_A = H'_B = H'. \quad (15)$$

利用所有力对于支座 A 和 B 的力矩方程式，得

$$-B_1 l + \sum M_{PA} = 0,$$

$$A_1 l - \sum M_{PB} = 0,$$

由此

$$A_1 = \frac{\sum M_{PB}}{l} = A_6,$$

$$B_1 = \frac{\sum M_{PA}}{l} = B_6.$$

因此，求分力 A_1 和 B_1 的方法，和前面求載荷情况与柔綫相同的簡支梁(图3e)反力的方法是相类似的。

現在我們以作用在柔綫左部的所有力对 D 点的力矩总和等

于零的式子作为先决条件

$$A_1 x + M_{Ax} - H'_A u_1 = 0,$$

由此

$$u_1 = \frac{A_1 x + M_{Ax}}{H'_A}.$$

因为此处 $A_1 x + M_{Ax}$ 就是簡支梁相应截面內的力矩 M , 因此得

$$u_1 = \frac{M}{H'_A}. \quad (16)$$

數量 u_1 沿直線 AB 的垂直線方向計算。它可以用縱坐标 u 表示：

$$u_1 = u \cos \alpha, \quad (17)$$

式中 α 是直線 AB 对水平軸的傾角。將公式(16)和(17)加以比較，可写出

$$u = \frac{M}{H'_A \cos \alpha}.$$

但由图 36 看出, $H'_A \cos \alpha$ 就是支座反力 R_A (或 R_B)①的水平分力。如果我們仍以 H 表示此水平分力, 則得

$$u = \frac{M}{H}. \quad (18)$$

这时自水平軸算起的柔綫的縱坐标为(图 3a 和 36)

$$y = u + x \tan \alpha = u + C \frac{x}{l} = \frac{M}{H} + C \frac{x}{l}, \quad (19a)$$

而自直線 AB 算起的縱坐标为

$$y_1 = \frac{M}{H}. \quad (19b)$$

由此得到

$$\frac{dy}{dx} = \frac{Q}{H} + \frac{C}{l}, \quad (20)$$

而柔綫的長度將等于

① 譯者注：原書為 A (或 B)。

$$L = \int_0^l \sqrt{1 + \left(\frac{dy}{dx}\right)^2} dx.$$

假定，数量 C 与跨度相較是不大的，则数量 $\frac{dy}{dx}$ 較之 1 也是小的。由此，同前

$$\begin{aligned} L &= \int_0^l \left[1 + \frac{1}{2} \left(\frac{dy}{dx} \right)^2 \right] dx = l + \frac{1}{2} \int_0^l \left(\frac{Q}{H} + \frac{C}{l} \right)^2 dx \\ &= l + \frac{1}{2H^2} \int_0^l Q^2 dx + \frac{C}{Hl} \int_0^l Q dx + \frac{C^2}{2l^2} \int_0^l dx, \end{aligned}$$

注意到 $\frac{C}{l} = \operatorname{tg} \alpha$ ，得

$$L = l + \frac{1}{2H^2} \int_0^l Q^2 dx + \frac{\operatorname{tg} \alpha}{H} \int_0^l Q dx + \frac{\operatorname{tg}^2 \alpha}{2} l.$$

积分 $\int_0^l Q dx$ 就是簡支梁剪力图的面积。大家知道，在任何垂

直力作用下此面积均等于零。由此得

$$L = l + \frac{1}{2H^2} \int_0^l Q^2 dx + \frac{\operatorname{tg}^2 \alpha}{2} l. \quad (21)$$

当 α 角較小时（約在 $15\sim20^\circ$ 以內），利用此公式能得到可靠的結果。如果 α 角較大，则柔線長度的解答的誤差就很大。下面將介紹大傾度的柔線的解答：

§ 2. 均布載荷的作用

a) 支座位子同一水平上

計算柔線时可能遇到两种均布載荷：沿柔線全長均匀分布的載荷和沿柔線水平投影綫均匀分布的載荷。第一种分布情形在各种輸電線中遇到，第二种一般在計算桥梁中遇到。由于在本書中仅研究小垂度柔線，因此認為載荷沿柔線水平投影綫均匀分布在

所有情形下都是足够精确的。

設有一根支座位于同一水平上的柔綫(图4)，它的跨度为 l ，垂度为 f ，單位水平投影長度上的載荷为 q 。求柔綫各不同截面的內力、柔綫的外形及長度。根据(12)式，对于跨度中心可写出

$$M = \frac{ql^2}{8},$$

$$y_{l/2} = f = \frac{M}{H} = \frac{ql^2}{8H},$$

由此

$$H = \frac{ql^2}{8f}. \quad (22)$$

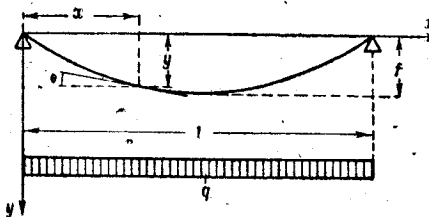


图 4

力矩方程式可写为

$$M = \frac{ql}{2}x - \frac{qx^2}{2},$$

因此公式(12)即具有下列形式：

$$y = \frac{4fx(l-x)}{l^2}. \quad (23)$$

現在即可写出

$$\frac{dy}{dx} = \tan \theta = \frac{4f}{l} - \frac{8fx}{l^2}. \quad (24)$$

显而易見，柔綫任意截面的內力①沿水平軸的分力即等于柔綫張力 H (图5)。亦即

① 讀者注意，在本書中柔綫“內力”一詞即為柔綫的張力，柔綫的“張力”即為柔綫的水平張力——譯者

$$S = \frac{H}{\cos \theta} = \frac{ql^2}{8f \cos \theta} \quad (25)$$

將式(24)的 $\tan \theta$ 值代入公式 $\frac{1}{\cos \theta} = \sqrt{1 + \tan^2 \theta}$, 得到

$$\frac{1}{\cos \theta} = \sqrt{1 + \frac{16f^2}{l^2} \left[1 - 2 \frac{x}{l} \right]^2} \quad (26)$$

由此將上式代入(25)式, 即得

$$S = \frac{ql^2}{8f} \sqrt{1 + \frac{16f^2}{l^2} \left[1 - 2 \frac{x}{l} \right]^2} \quad (27)$$

顯然, 最大內力產生在 $x=0$ 和 $x=l$ 处。在這兩種情形下得到

$$S_{\max} = \frac{ql^2}{8f} \sqrt{1 + 16 \frac{f^2}{l^2}} = H \sqrt{1 + 16 \frac{f^2}{l^2}}$$

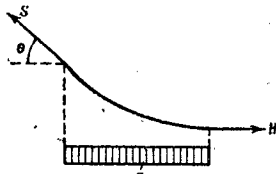


圖 5

應該指出, 在小垂度柔線中最大內力和水平張力 H 的差別是很小的。實際上, 即使當垂度的大小等於 $f=0.1l$ 時(此垂度值已可認為是較大的), 最大內力不過為

$$S_{\max} = H \sqrt{1 + 16 \times 0.1^2} = 1.078H,$$

亦即最大內力與張力只相差 7.8%。如果 $f = \frac{l}{20}$, 差值為 2%; 而當 $f = \frac{l}{40}$, 則差值僅為 0.5%。由此, 在計算小垂度柔線時常可認為最大內力與水平張力是相等的。

$$S_{\max} \approx H. \quad (28)$$

柔線的長度可根據公式(14)確定。對於受均布載荷的對稱柔線

$$Q = \frac{ql}{2} - qx.$$

因此

$$\int_0^l Q^2 dx = q^2 \int_0^l \left(\frac{l}{2} - x\right)^2 dx = \frac{q^2 l^3}{12}, \quad (29)$$

若注意到(22)式, 則按公式(14)得

$$L = l + \frac{1}{2 \left(\frac{q l^2}{8 f} \right)^2} \frac{q^2 l^3}{12} = l + \frac{8}{3} \frac{f^2}{l}. \quad (30)$$

公式(30)可直接用于实际計算, 并对以后的柔綫理論叙述是极其有用的。

必須指出, 在小垂度柔綫中柔綫的長度 L 和跨度的差別是很小的。例如当 $l=100$ 公尺和 $f=2.5$ 公尺时 L 等于 100.167 公尺。

6) 支座位於不同水平上

图 6 是一根支座位於不同水平上的柔綫。如前面的情形一样, 要确定柔綫的外形、各截面的內力及其長度。

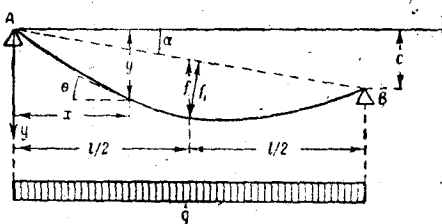


图 6

按公式(19a)得到

$$H = \frac{M}{y - C \frac{x}{l}}. \quad (31)$$

假定柔綫跨度中間自直線 AB 算起的垂度 f 是已知的。对此截面得

$$M = \frac{q l^2}{8}, \quad y = f + C \frac{x}{l}.$$

因此將 $x = \frac{l}{2}$ 代入公式(31), 即得

$$H = \frac{ql^2}{8f}。 \quad (32)$$

必須指出，在此處 q 不是指柔綫的單位重量 q_1 ，而是已考慮柔綫傾斜度的單位重量值

$$q = \frac{q_1}{\cos \alpha}。$$

柔綫的垂曲綫方程式可根據(19a)式求得

$$y = \frac{M}{H} + \frac{Cx}{l}$$

或將(32)式的 H 值及下式代入上式

$$M = \frac{ql}{2}x - \frac{qx^2}{2}$$

得到

$$y = \frac{4fx(l-x)}{l^2} + \frac{Cx}{l} = \frac{4fx(l-x)}{l^2} + x \tan \alpha。 \quad (33)$$

由此

$$\frac{dy}{dx} = \frac{4f}{l} - 8f \frac{x}{l^2} + \frac{C}{l}。 \quad (34)$$

在柔綫的左終端，亦即在 $x=0$ 处，得到 $\frac{dy}{dx} = \theta_A$ （此處 θ_A 是柔綫的切線對水平綫的傾角）

$$\tan \theta_A = \frac{4f}{l} + \frac{C}{l}； \quad (35)$$

同樣，對於右終端（亦即在 $x=l$ 处）

$$\tan \theta_B = \frac{4f}{l} - 8f \frac{l}{l^2} + \frac{C}{l} = -\frac{4f}{l} + \frac{C}{l}。 \quad (36)$$

因此，如果 $4f=C$ ，則此終端是水平的。如果 $4f>C$ ，則正切是負值，亦即切線的傾斜情形與圖 7a 相適應。如果 $4f<C$ ，則柔綫在右支座上的切線方向如圖 7b 所示。

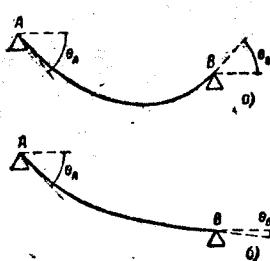


圖 7